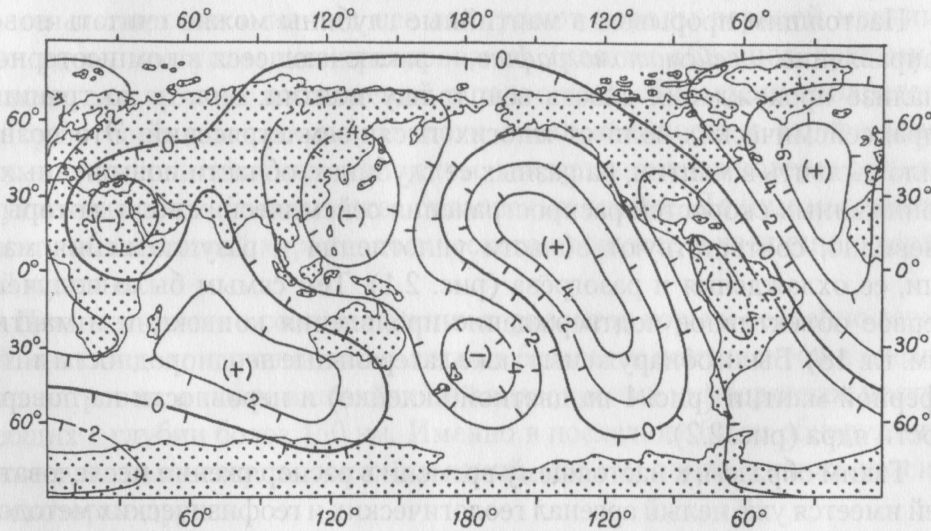


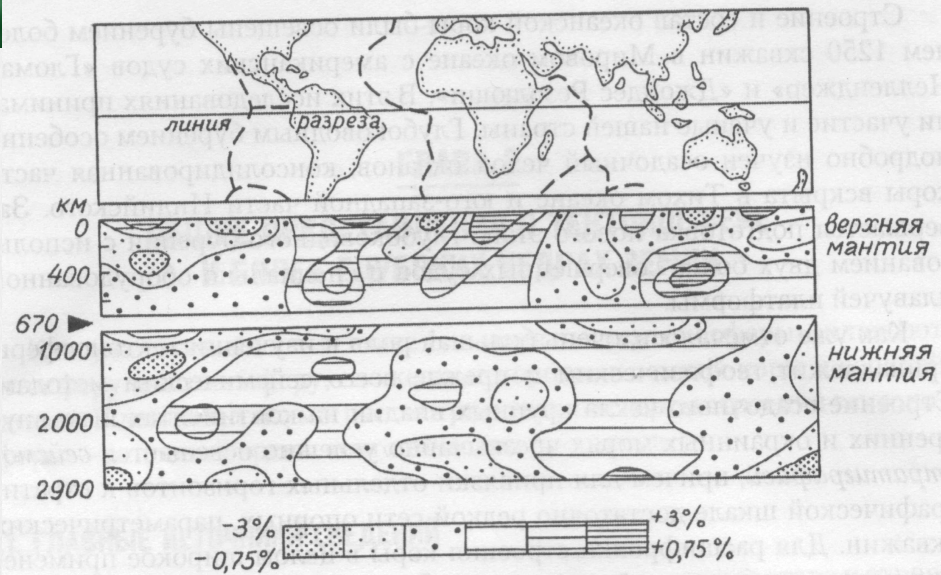
Рельеф поверхности ядра Земли, по данным сейсмической томографии  
 (А. Морелли, А. Дзевонский, 1987).  
 Изолинии проведены через 2 км

**Рис. 2.59. Неровности кровли ядра, [34]**





Рельеф поверхности ядра Земли, по данным сейсмической томографии (А. Морелли, А. Дзевонский, 1987).  
Изолинии проведены через 2 км



Разрез мантии Земли вдоль линии экватора, по данным сейсмической томографии (Дж. Вудхауз, А. Дзевонский, 1984).  
Аномалии скоростей сейсмических волн — в процентах от «нормальных» значений, нарастающих с глубиной.  
На шкале верхние цифры для поперечных волн, нижние — для продольных

**Рис. 2.60. Рельеф поверхности ядра и сейсмотомографический разрез мантии, [34]**



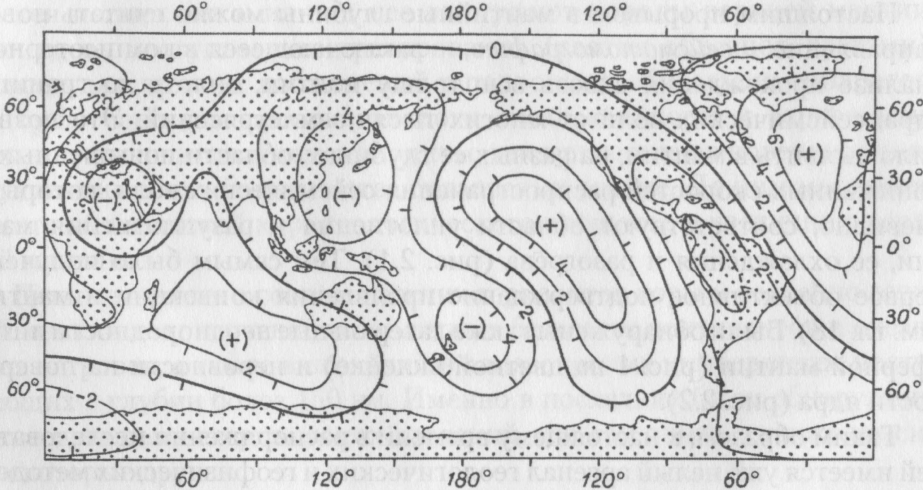
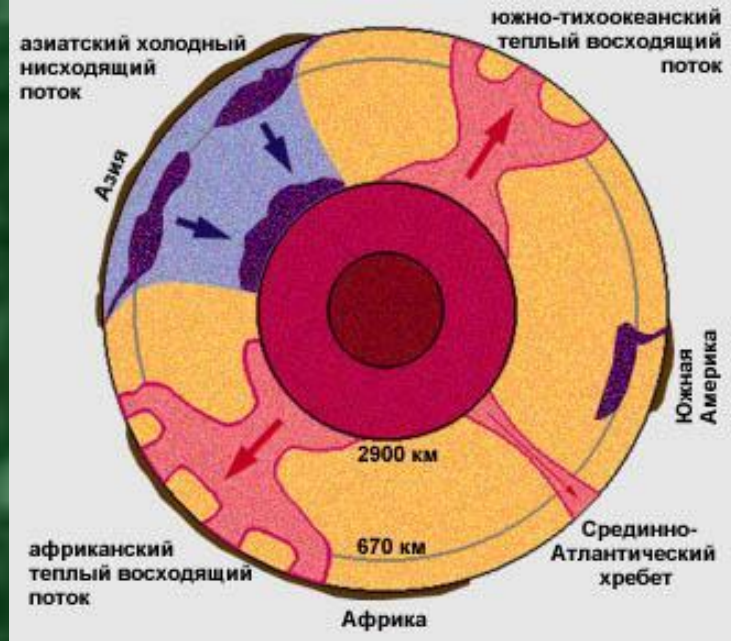
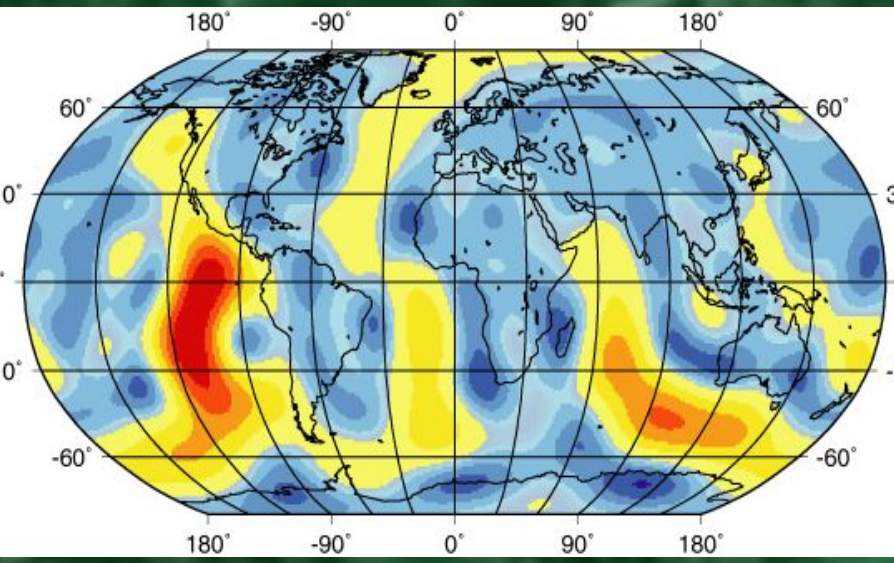


Рис. 2.2. Рельеф поверхности ядра Земли, по данным сейсмической томографии (А. Морелли, А. Дзевонский, 1987).  
Изолинии проведены через 2 км



<http://www.sciteclibrary.ru/ris-stat/st017/konvection.jpg>

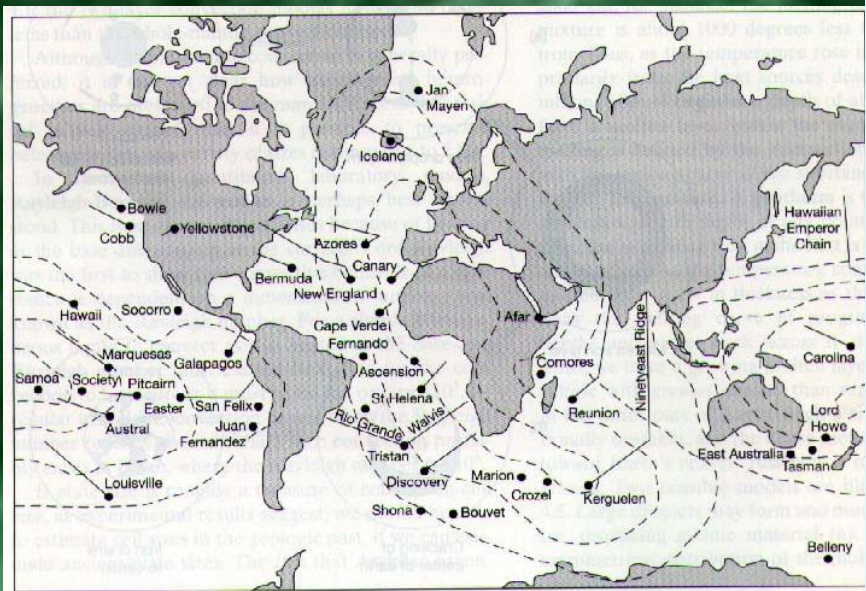
**Рельеф поверхности ядра, [34]**



**Карта тепловых потоков**

<http://eqseis.geosc.psu.edu/~cammon/HTML/Class/s/IntroQuakes/Notes/Images/specific/heatflow.gif>

**Крупнейшие ап- и даунвеллинги**



**Проекция на поверхность апвеллингов**

[http://www.calstatela.edu/faculty/acovill/plates/hot\\_spots.jpg](http://www.calstatela.edu/faculty/acovill/plates/hot_spots.jpg)

**Рис. 2.61. Сопоставление неровностей поверхности ядра с положением крупнейших мантийных ап- и даунвеллингов, и современных приповерхностных тепловых потоков**



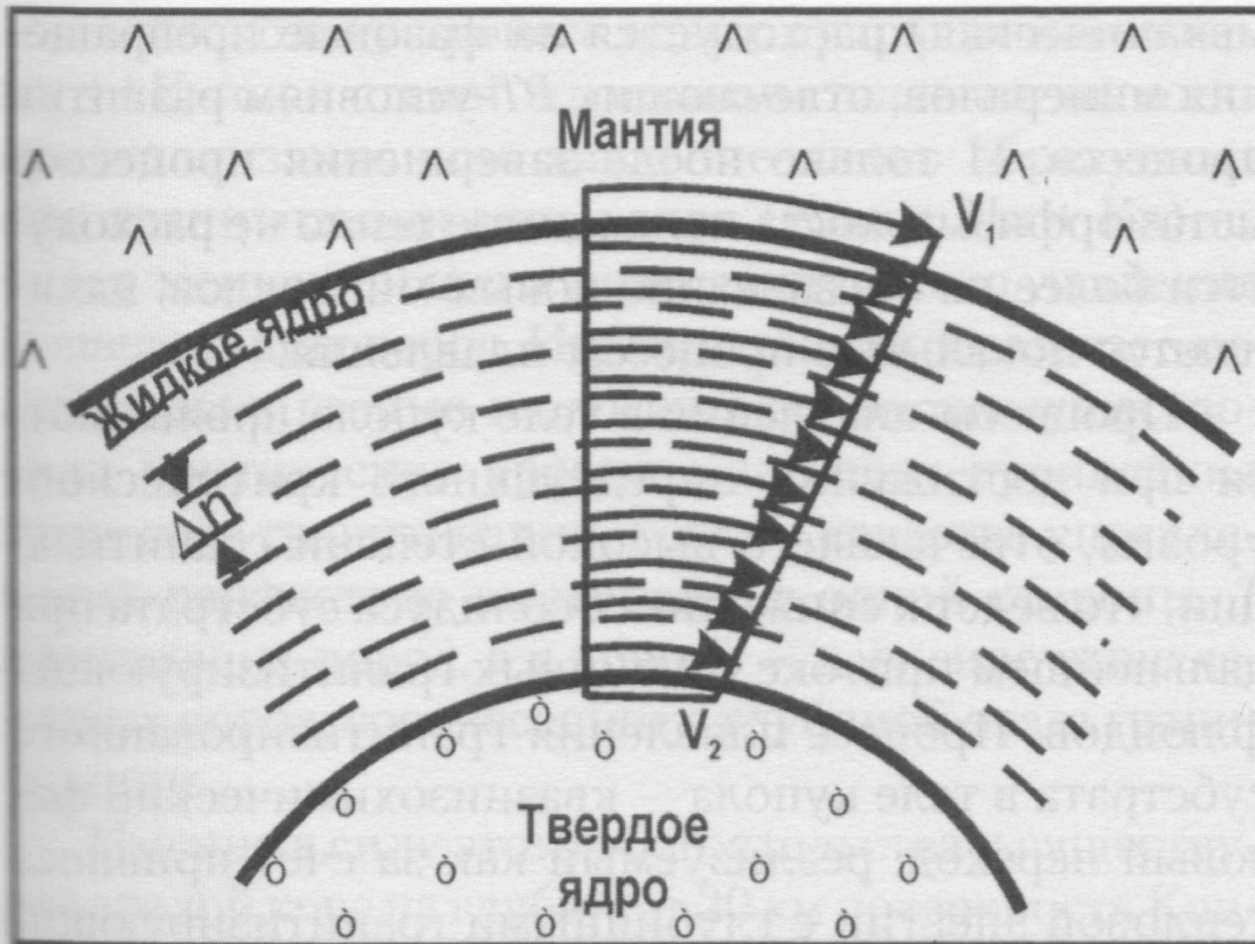


Схема генерации теплоты трения между слоями с различной вязкостью в жидком ядре Земли.

Рис. 2.64. Схема возможного разноскоростного перемещения вещества внешнего ядра, сопровождающаяся выделением теплоты трения, [18, С.137]